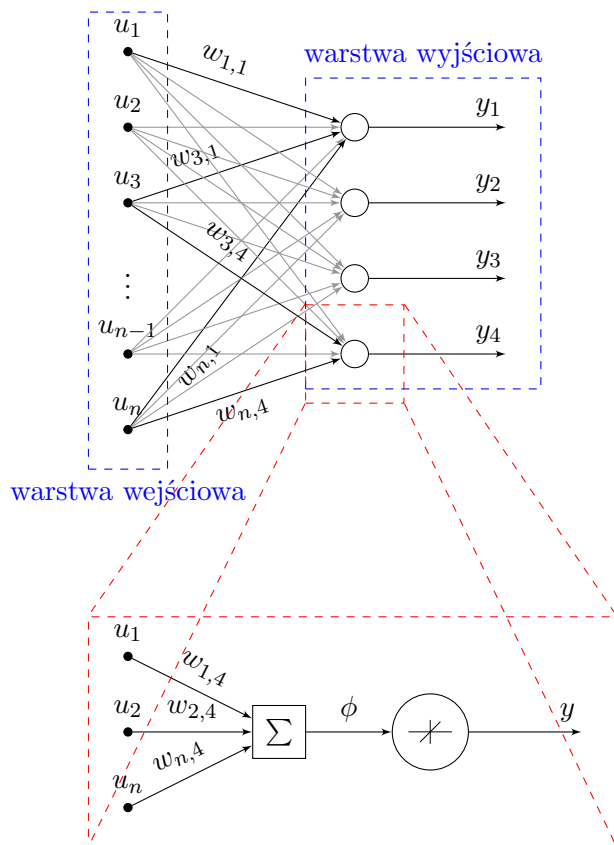


ESI: Sieci liniowe i nieliniowe sieci wielowarstwowe

[Matlab_1.1] Matlab2016b i nowsze

15 kwietnia 2019

1. **Cel ćwiczeń:** Celem ćwiczeń jest zapoznanie się studentów z zagadnieniami z zakresu sztucznych sieci neuronowych związanymi z sieciami liniowymi oraz wielowarstwowymi sieciami nieliniowymi.
2. **Struktury sieci neuronowych:** Pojedyncze neurony można łączyć w sieci jedno- lub wielowarstwowe. Podstawową, najprostszą siecią jest **liniowa sieć neuronowa**. Rys. 1 przedstawia liniową sieć jednowarstwową. Są one zbudowane z równoległe połączonych neuronów liniowych. Najczęściej



Rysunek 1: Jednowarstwowa liniowa sztuczna sieć neuronowa

wszystkie wejścia sieci połączone są z każdym neuronem. Sieci liniowe mogą być wykorzystywane w

wielu aplikacjach, np. jako wielowymiarowe aproksymatory liniowe, klasyfikatory czy filtry liniowe. W ogólnej postaci, sieć liniowa jest opisana następująco

$$y = \sum_{i=1}^n (u_i w_i + w_{n+1}) = WU, \quad (1)$$

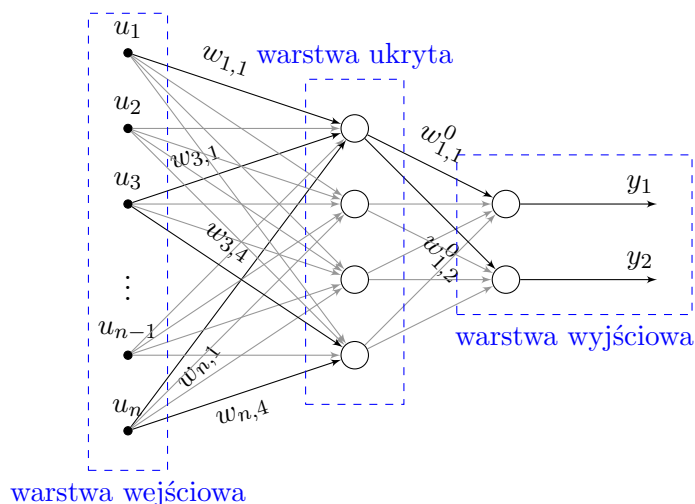
gdzie W jest macierzą wag a U wektorem danych wejściowych. Strukturą bardziej złożoną, zdolną również do rozwiązywania problemów nieliniowych jest **perceptron wielowarstwowy** (MLP, ang. Multi-Layer Perceptron), przedstawiony na Rys. 2. W ogólnej postaci (dwuwarstwowej) opisany jest on następująco

$$y = \sigma \left(\sum_{i=1}^{n_0} w_{0,i} \sigma \left(\sum_{j=1}^n w_{1,j} u_j + w_{1,n+1} \right) + w_{0,n+1} \right), \quad (2)$$

jednakże znacznie częściej stosuje się MLP w następującej postaci

$$y = W_0 \sigma \left(\sum_{i=1}^n u_i w_i + w_{n+1} \right), \quad (3)$$

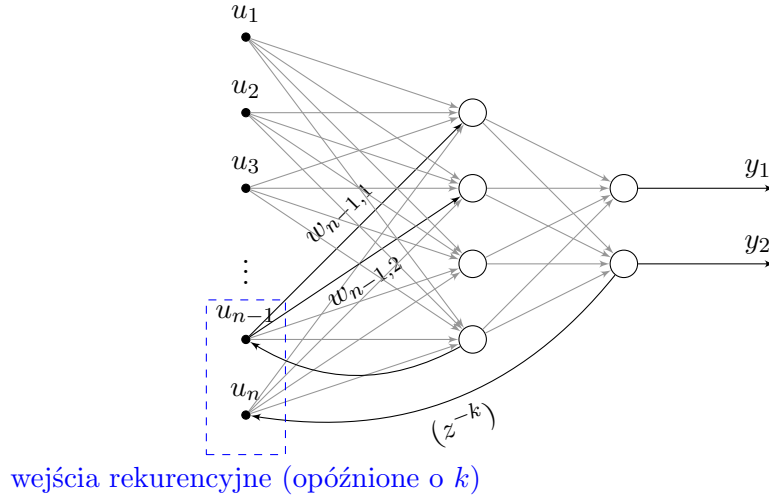
co oznacza, iż warstwa wyjściowa jest warstwą liniową podczas gdy warstwa ukryta złożona jest z neuronów nieliniowych (najczęściej o bipolarnej, sigmoidalnej funkcji aktywacji). Zazwyczaj neurony z warstwy ukrytej są połączone z warstwą wyjściową w relacji **każdy z każdym**, tak samo jak wejścia z neuronami w warstwie ukrytej. W przypadku tradycyjnych (niegłębokich) sieci neuronowych rzadko stosuje się architekturę o większej ilości warstw. Powodem tego są problemy z uczeniem takich sieci związane z efektem **zanikania gradientu** [6, 2] oraz dużą złożonością pamięciowo-obliczeniową sieci o dużej liczbie neuronów. Ponadto, podłączając wyjście sieci do wejścia (z opóźnieniem) powstaje **sieć**



Rysunek 2: Sztuczna sieć neuronowa typu MLP

rekurencyjna (ang. RNN, Recurent Neural Network). Dzięki rekurencji sieci tego typu posiadają **pamięć**, wykorzystywaną w sieciach LSTM (ang. Long-Short Term Memory) [4], ESN (ang. Echo State Network) [7] czy w sieciach Hopfielda [3]. Dzięki sprzężeniu zwrotnemu sieci rekurencyjne typu

NAR (ang. nonlinear autoregression) i NARX (ang. nonlinear autoregression with exogenous input) nadają się również np. do przewidywania szeregów czasowych lub symulacji układów dynamicznych. Również w sieciach rekurencyjnych występuje zjawisko zanikania gradientu, co wymusza stosowanie metod uczenia zapobiegających temu zjawisku. Sieci rekurencyjne mogą posiadać sprzężenie zwrotne z warstwy ukrytej lub z warstwy wyjściowej. Rys. 3 przedstawia sieć ze sprzężeniem od warstwy ukrytej oraz wyjściowej z opóźnieniem o k próbek. W sieciach płytkich wejścia opóźnione najczęściej opóźniane są o $k \in \{1, 2\}$ próbek.



Rysunek 3: Przykładowa rekurencyjna sieć neuronowa

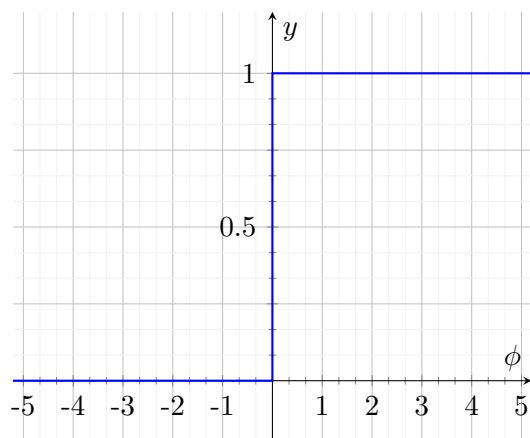
3. **Nieliniowe funkcje aktywacji:** Poniżej przedstawiono najpopularniejsze funkcje aktywacji wykorzystywane w sieciach płytkich

funkcja unipolarna skoku jednostkowego $y = \begin{cases} 0, & \phi \leq 0 \\ 1, & \phi > 0 \end{cases}$, funkcja przedziałami różniczkowalna, monotoniczna, wykorzystywana w klasyfikatorach binarnych. Rys. 4 przedstawia wykres funkcji skoku jednostkowego.

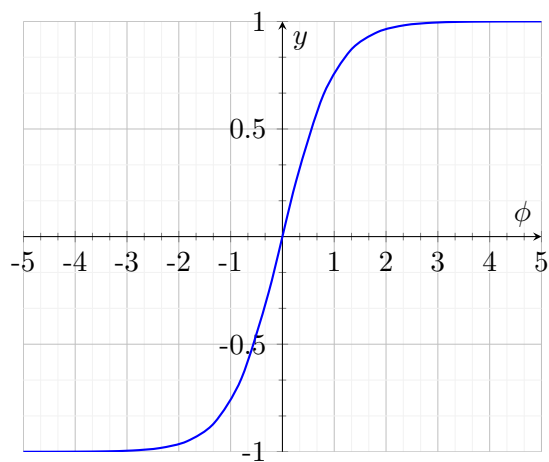
tangens hiperboliczny $y = \tanh(\phi)$, funkcja różniczkowalna, gładka i monotoniczna, wykorzystywana najczęściej w nieliniowych perceptronach wielowarstwowych (MLP) lub w sieciach rekurencyjnych. Rys. 5 przedstawia wykres funkcji sigmoidalnej – tangens hiperboliczny.

funkcja Gaussa $y = ae^{-\frac{(x-b)^2}{2c^2}}$, funkcja różniczkowalna, gładka, niemonotoniczna, wykorzystywana w sieciach RBF, także rekurencyjnych. W reprezentacji rozkładu gęstości prawdopodobieństwa przyjmuje się $b = \mu, c = \sigma, a = \frac{1}{\sigma\sqrt{2\pi}}$, zatem dla rozkładu normalnego o parametrach $\mathcal{N}(0, 1)$, $y = \frac{1}{\sqrt{2\pi}}e^{-\frac{x^2}{2}}$. Rysunek 6 przedstawia krzywą Gaussa dla standardowego rozkładu normalnego.

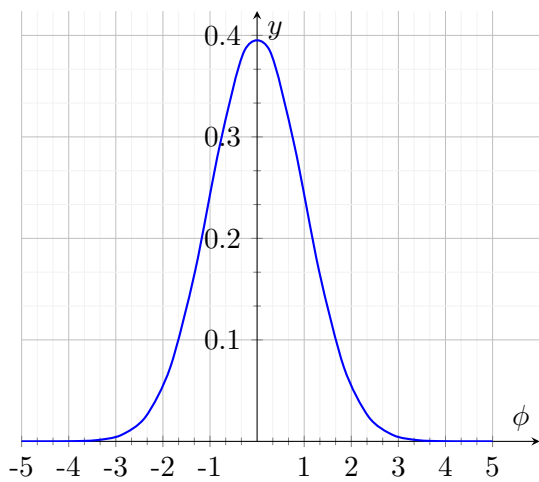
4. **Uczenie sieci wielowarstwowych:** Uczenie sieci z nauczycielem polega na takim dostosowywaniu wag neuronów aby wartość na wyjściu sieci była możliwie bliska wartości oczekiwanej. Istnieje



Rysunek 4: Wykres funkcji skoku jednostkowego



Rysunek 5: Wykres funkcji tangens hiperboliczny

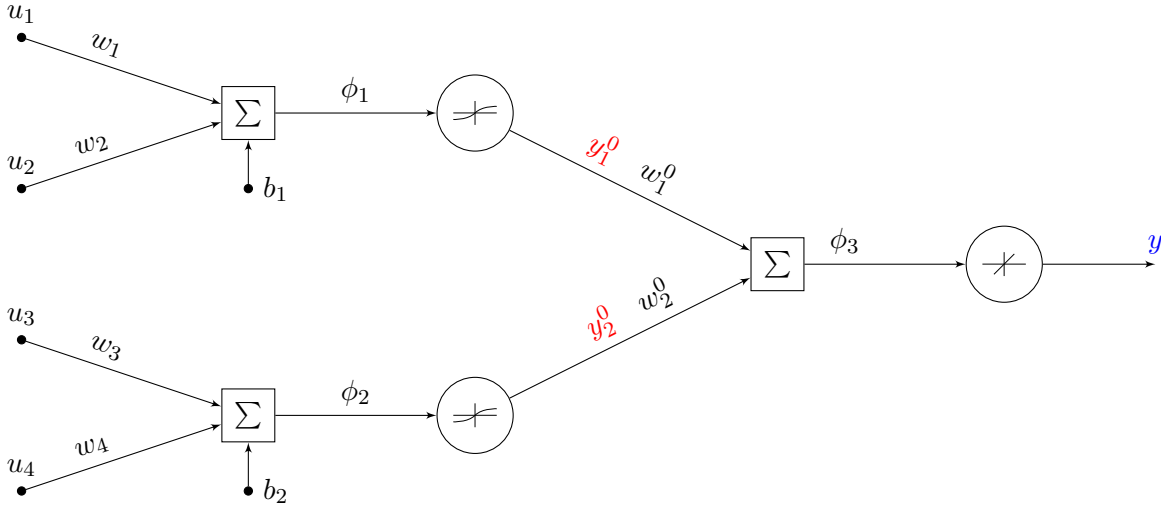


Rysunek 6: Wykres funkcji Gaussa o parametrach $\mathcal{N}(0, 1)$

wiele metod dostosowywania wag aby spełnić ten warunek. W przypadku sieci nieliniowych wielowarstwowych najpopularniejsze są metody gradientowe. Pozwalają one na wyznaczenie pochodnych cząstkowych funkcji aktywacji w formie gradientu, przez co możliwe jest iteracyjne dążenie do minimum funkcji celu, tj. minimum odległości między wartościami wyjściowymi i oczekiwanymi. Jedną ze stosowanych funkcji celu jest błąd średniokwadratowy (MSE) dany wzorem

$$MSE = \frac{1}{N} \sum_{i=1}^N (y_i - \bar{y}_i)^2. \quad (4)$$

Jeżeli $MSE < \epsilon$ jest mniejsze od pewnej małej wielkości zadanej oznacza to, iż proces uczenia można uznać za zakończony. W przypadku sieci jednowarstwowych cała procedura jest nieskomplikowana, jako iż wielkość MSE bezpośrednio wpływa na wagi sieci. Trudniejszym w realizacji jest algorytm uczenia sieci wielowarstwowej, jako iż dla warstwy wyjściowej MSE jest łatwe do określenia, o tyle odchyłka na warstwach ukrytych musi być wyznaczona w sposób pośredni. Ilustruje to Rysunek 7, gdzie na niebiesko zaznaczono parametry których oczekiwane wartości są znane, a na czerwono nie są znane. **Algorytm wstecznej propagacji błędów** powstał aby rozwiązać ten problem. W ujęciu



Rysunek 7: Fragment perceptronu wielowarstwowego

intuicyjnym polega on na propagacji błędu od wyjścia sieci do wejść. Graficznie, przepływ wsteczny gradientu może być przedstawiony w formie grafu skierowanego, w którym węzły są bramkami (funkcjami). Rysunek 8 przedstawia ideę algorytmu wstecznej propagacji. Poszczególne bramki oznaczają funkcje: dodawania Σ , mnożenia Π , odwrotną $\frac{1}{x}$ oraz wykładniczą e^x . Na niebiesko oznaczono kolejne pochodne cząstkowe zgodnie z tzw. regułą łańcuchową. Reguła łańcuchowa oparta jest o **twierdzenie o pochodnej funkcji złożonej**. W notacji Leibnitza określa się ją następująco

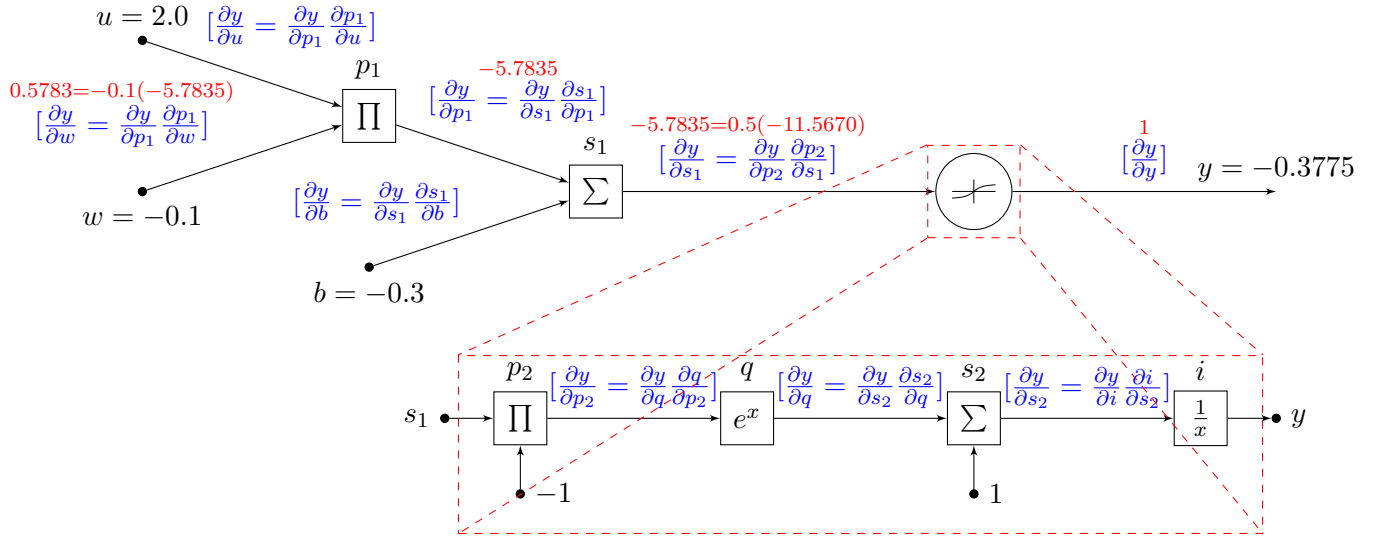
$$\frac{\partial y}{\partial x} = \frac{\partial t}{\partial x} \frac{\partial y}{\partial t}, \quad (5)$$

gdzie $y = f(g(x))$, natomiast $t = g(x)$. Na czerwono oznaczono wartości pochodnych cząstkowych.

Analizując strukturę wszystkich kolejnych pochodnych wzdłuż kierunku wstecznej propagacji należy zauważyć, iż jednym z czynników iloczynu jest pochodna *lokalna* a drugim *zwrotna*. W ten sposób wartości są propagowane wstecz, od wyjścia do wejścia (do wewnątrz funkcji złożonej jaką jest neuron a w konsekwencji sieć neuronowa). Końcowa wartość pochodnej cząstkowej $\frac{\partial y}{\partial w}$ uwzględniana jest w algorytmie aktualizacji wag, np. dla *algorytmu największego spadku*

$$w(k+1) = w(k) + \eta \frac{\partial y}{\partial w} = -0.1 - 0.5783 = -0.6783, \quad (6)$$

przy $\eta = 1$.



Rysunek 8: Przepływ gradientu

5. **Normalizacja danych wejściowych i wyjściowych:** Analizując Rys. 5 można szybko zauważyć, iż funkcja tangens hiperboliczny szybko przyjmuje wartości graniczne.

$$\lim_{\phi \rightarrow \infty} \tanh(\phi) = 1, \quad \lim_{\phi \rightarrow -\infty} \tanh(\phi) = -1, \quad (7)$$

innymi słowy oznacza to szybkie nasycenie (dla $y(\phi > 3) \approx 1$ oraz $y(\phi < -3) \approx -1$). Nieliniowe właściwości sieci mogą zostać osłabione ze względu na liniowy (oraz o słabym nachyleniu) charakter funkcji sigmoidalnych w pewnych przedziałach swojej dziedziny, tj.

$$|\phi| > 3 \Rightarrow \frac{dy}{d\phi} \approx 0, \quad (8)$$

zatem zmiana wartości parametru funkcji nie prowadzi do dalszej zmiany wartości funkcji. Do podobnych wniosków można dojść analizując dzwon Gaussa z Rys. 6, z tym że

$$\lim_{\phi \rightarrow \infty} \tanh(\phi) = 0, \quad \lim_{\phi \rightarrow -\infty} \tanh(\phi) = 0 \quad (9)$$

a

$$\phi > 5 \Rightarrow y = \frac{1}{\sqrt{2\pi}} e^{-\frac{\phi^2}{2}} < 1.5e - 6 \quad (10)$$

oraz

$$|\phi| > 5 \Rightarrow \frac{dy}{d\phi} \approx 0. \quad (11)$$

Stąd, aby uniknąć zerowania pochodnych prowadzącego do zaniku nieliniowych właściwości sieci należy wprowadzić normalizację danych wejściowych.

Normalizacja poprzez skalowanie liniowe (normalizacja min-max). Pozwala na zmianę zakresu danych wejściowych, tj. element największy wektora danych wejściowych (x_{max}) skalowany jest do nowej wartości największej (b), element najmniejszy (x_{min}) do nowego elementu najmniejszego (a), natomiast wartości pośrednie liniowo mapowane do nowej dziedziny

$$f(x)_{ab} = \frac{(b-a)(x-x_{min})}{x_{max}-x_{min}} + a. \quad (12)$$

Normalizacja poprzez standaryzację. Polega na sprowadzeniu parametrów danych wejściowych do $\mathcal{N}(0, 1)$

$$f(x)_{\mu\sigma} = \frac{x-\mu}{\sigma}, \quad (13)$$

gdzie estymatorem wartości oczekiwanej μ jest średnia arytmetyczna a estymatorem odchylenia standardowego pierwiastek średniej arytmetycznej kwadratów odchyleń, zatem $\sigma = \sqrt{MSE}$.

Denormalizacja W celu zapewnienia poprawnego działania sieci z normalizacją $f_n(u)$ na wejściu należy na wyjściu zastosować funkcję odwrotną $f^{-1}(y)$.

6. **Predefiniowane struktury sztucznych sieci neuronowych w środowisku Matlab:** W środowisku Matlab istnieje możliwość prostej i szybkiej implementacji wielu różnych struktur sieci neuronowych. Użytkownik ma do wyboru wiele predefiniowanych struktur lub może stworzyć sieć o zdefiniowanej przez siebie architekturze [1]. Poniżej przedstawiono kilka popularnych struktur.

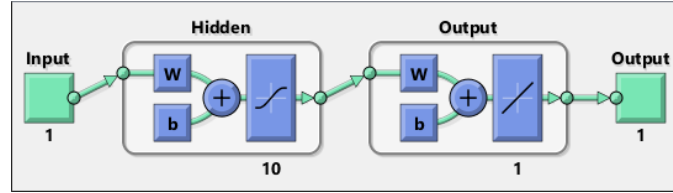
MLP Perceptron wielowarstwowy jest podstawową sztuczną siecią neuronową predefiniowaną w środowisku Matlab. Do zainicjalizowania struktury sieci MLP wykorzystuje się polecenie *feedforwardnet*, którego podstawowym parametrem jest liczba neuronów w warstwie ukrytej. Domyślnie

```
1 net = feedforwardnet(10);    %MLP z 10 neuronami w warstwie ukrytej
```

Listing 1: Inicjalizacja sieci typu MLP z 10 neuronami w warstwie ukrytej.

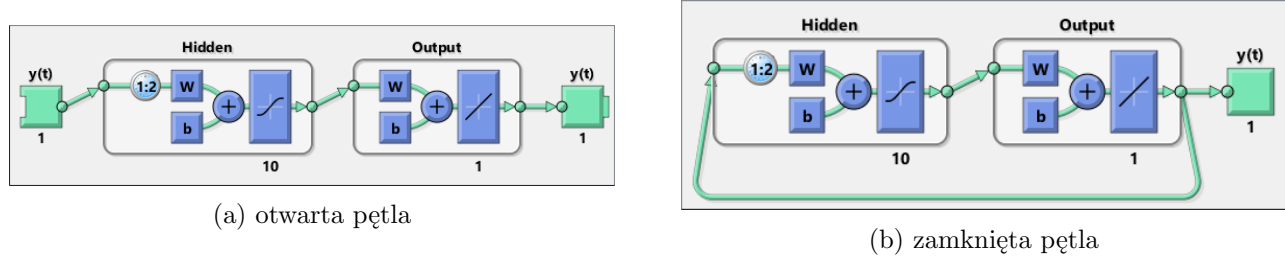
sieć ta jest inicjalizowana z dwoma warstwami, z sigmoidalnymi funkcjami aktywacji w warstwie ukrytej (tangens hiperboliczny, *tansig*) w warstwie ukrytej oraz liniowymi (*purelin*) w warstwie wyjściowej. Ilość wejść oraz wyjść jest ustawiana automatycznie po wywołaniu funkcji uczącej *train* za rzecz zdefiniowanej sieci, na podstawie danych uczących. Domyślną metodą uczenia

jest metoda Levenberga–Marquardta a domyślną funkcją celu MSE. Rysunek 2 Przedstawia przykładowy perceptron wielowarstwowy zainicjalizowany poleceniem z Listing 1.



Rysunek 9: Perceptron wielowarstwowy

NAR Nonlinear autoregressive - to najprostsza sieć rekurencyjna. w trybie uczenia pętla sprzężenia zwrotnego jest otwarta (Rys. 10a) natomiast w trybie odtwarzania zamknięta (Rys. 10b). Domyślną metodą uczenia jest metoda Levenberga–Marquardta a domyślną funkcją celu MSE. Sieci typu NAR stosować można do przewidywania szeregów czasowych. W środowisku Matlab



Rysunek 10: Sieć typu NAR

do inicjalizacji sieci NAR służy funkcja *narnet* natomiast w celu przygotowania danych (przesunięcie próbek) stosuje się funkcję *preparets* jako pokazano na Listing 2. Do zamknięcia pętli

```
1 net = narnet(1:2,10); % 10 neuronow opoznienia o 1 i 2 probki
2 [Xs,Xi,Ai,Ts] = preparets(net,{},{},T);
```

Listing 2: Inicjalizacja sieci typu NAR z 10 neuronami w warstwie ukrytej i przygotowanie zbioru danych uczących

sprzężenia zwrotnego służy polecenie *closeloop* (patrz. Listing 3) Sieć typu NAR po zamknię-

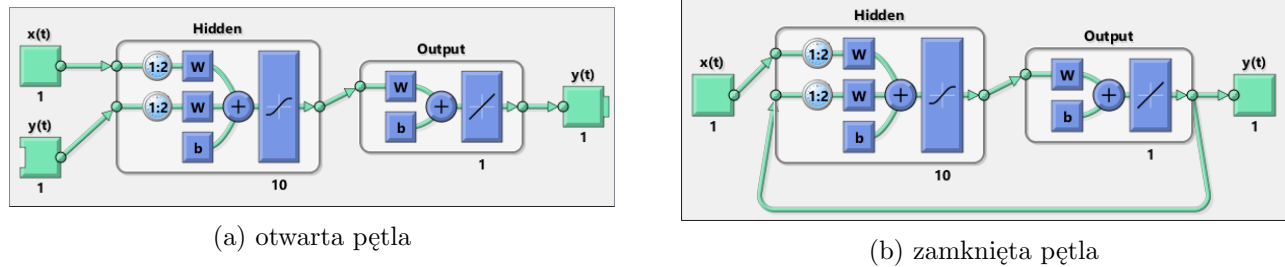
```
1 [netc,Xic,Aic] = closeloop(net,Xf,Af);
```

Listing 3: Zamykanie pętli sprzężenia zwrotnego

ciu pętli nie posiada wejść, w każdej iteracji generuje nowy element szeregu bazując jedynie na elementach poprzednich (w zależności od opóźnionych wejść).

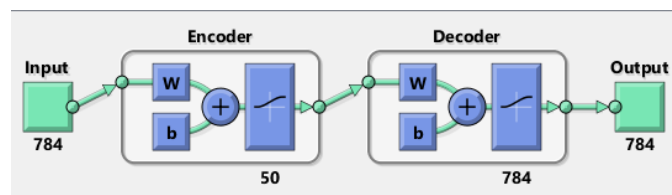
NARX nonlinear autoregressive with exogenous input – sieć rekurencyjna o wejściach bez sprzężenia zwrotnego. W trybie uczenia, tak jak w sieciach typu NAR uczenie odbywa się z otwartą

pętlą (Rys. 11a). Polecenie *narxnet* służy do inicjalizacji struktury sieci i przyjmuje takie same parametry jak funkcja *narxnet*. Podobnie jak dla innych struktur funkcja *train* służy do uczenia sieci. Po nauczaniu sieci należy zamknąć pętlę (Rys. 11b) poleceniem *closeloop* (Listing 3). Tak przygotowana sieć może odtwarzać zachowanie układów dynamicznych lub służyć do predykcji szeregów czasowych.



Rysunek 11: Sieć typu NARX

Autoencoder Jest to specyficzny rodzaj sieci neuronowej, który można wykorzystać do kompresji i dekompresji danych lub jako element klasyfikatora. Autoencoder uczony jest odwzorowania funkcji tożsamościowej, tj. przekształcania zbioru samego w siebie. W literaturze klasyfikowany jest jako przykład sieci uczonej bez nauczyciela, mimo iż w istocie oczekiwana wartość wyjściowa sieci tożsama jest z wejściem. Autoencoder składa się z dwóch części **encodera** i **decodera**, natomiast każda z nich posiada min. jedną warstwę. Co do zasady część encoderowa jest ekstraktorem cech i ma za zadanie zmniejszyć wymiarowość problemu reprezentowanego przez dane wejściowe. Decoder z kolei pełni rolę odwrotną – na podstawie cech dostarczanych przez encoder powinien on odtwarzać dane wejściowe. Budowę przykładowego autoencodera przedstawia Rys. 12. Należy również zwrócić uwagę, iż ze względu na charakter sieci tego typu, jako funkcja ak-



Rysunek 12: Przykładowy autoencoder

tywacji wykorzystywana jest sigmoidalna funkcja unipolarna *logsig* a jako funkcję błędu stosuje się zmodyfikowane MSE.

7. Zadania:

- 7.1. Wykorzystać liniową sieć neuronową (inicjalizacja i uczenie poleceniem *newlind*) w celu wyznaczenia parametrów równania regresji liniowej $y = ax + bz + c$. Wykorzystać następujące dane

uczące

$$U = \begin{bmatrix} x_1, \dots, x_n \\ z_1, \dots, z_n \end{bmatrix} = \begin{bmatrix} 1 & 3 & 4 & 5 & 6 & 8 & 9 & 11 & 14 & 16 \\ -1 & 4 & 4 & 6 & 8 & 8 & 10 & 12 & 15 & 18 \end{bmatrix},$$

$$Y = [y_1, \dots, y_n] = [14 \ 10 \ 13 \ 12 \ 11 \ 17 \ 16 \ 18 \ 21 \ 21].$$

Podpatrzyć strukturę sieci poleceniem *view*. Wagi sieci znajdują się w strukturze (np. *net*) zwróconej przez polecenie *newlind* w polach *IW{1}* oraz *b* (np. *net.IW{1}*).

- 7.2. Zdefiniować macierz jak na Listingu 4. Zastosować funkcję *mapminmax* do normalizacji wartości elementów macierzy *A* do przedziału $\langle -1, 0 \rangle$. Zastosować funkcję *mapstd* do normalizacji wartości elementów macierzy *A* do rozkładu o parametrach $\mu = 2, \sigma = 4$. Wyniki zapisać odpowiednio do macierzy *B* i *C*. Sprawdzić poprawność normalizacji.

```
1 A = randn(2,20)*100; % macierz 2x20 losowych wartosci o rozkladzie normlanym
```

Listing 4: Macierz do zadania 7.2.

- 7.3. Wykorzystując polecenia *feedforwardnet* oraz *train* zainicjalizować oraz wytrenować sieć o nazwie *net*, która będzie realizować następujące równanie $y = x^2$. Za dane uczące przyjąć wektor liczb rzeczywistych z przedziału $\langle -4, 4 \rangle$ (z interwałem co 0.1). Za ilość neuronów w warstwie ukrytej przyjąć kolejno $n \in \{1, 4, 8, 20, 100\}$. Strukturę sieci podejrzeć używając polecenia *view*. Sprawdzić jakość odwzorowania dla liczb z przedziału $\langle -6, 6 \rangle$.
- 7.4. Sprawdzić jakie funkcje normalizacyjne/filtrujące są wykorzystywane w sieci z zad 2. Wykorzystać polecenia z Listingu 5.

```
1 net.input.processFcns      % funkcje przetwarzajace wejscie sieci
2 net.input.processParams    % parametry funkcji przetwarzajacych wejscie
3 net.input.processSettings  % wlasciwosci funkcji przetwarzajacych wejscie
4 net.output.processFcns     % funkcje przetwarzajace wyjscie
5 net.output.processParams    % parametry funkcji przetwarzajacych wyjscie
6 net.output.processSettings  % wlasciwosci funkcji przetwarzajacych wyjscie
```

Listing 5: Polecenia do zad. 7.4.

- 7.5. Sprowadzić macierze *B* i *C* do macierzy *A* odwracając proces normalizacji z zad. 7.2.
- 7.6. Sprawdzić jak zachowuje się rekurencyjna sieć neuronowa typu NAR dla przykładowego szeregu czasowego w zależności od wejść opóźnionych o $k \in \{(1, 2), (1, 2, 3), (1, 3)\}$ oraz w zależności od liczby neuronów w warstwie ukrytej $n \in \{5, 10, 15, 50\}$. W badaniach wykorzystać skrypt z Listingu 6
- 7.7. Wykorzystując polecenie z Listingu 7 wczytać przykład zastosowania autoencodera do odtwarzania pisma ręcznego. Sprawdzić jakość odtwarzania dla różnych parametrów sieci

```

1 clear;clc;close all hidden;
2 nnet.guis.closeAllViews(); % zamkniecie okien narzedzia sieci neuronowych
3 Tfull = simplenar_dataset; % wczytanie danych demonstracyjnych
4 T = Tfull(1:50);
5 net = narnet(1:2,5); % zdefiniowanie struktury sieci NAR
6 [Xs,Xi,Ai,Ts] = preparets(net,{},{},T); % przygotowanie zbioru uczacego
7 net = train(net,Xs,Ts,Xi,Ai);
8 view(net); % siec z otwarta petla sprzezenia zwrotnego
9 [Y,Xf,Af] = net(Xs,Xi,Ai);
10 perf = perform(net,Ts,Y)
11 [netc,Xic,Aic] = closeloop(net,Xf,Af); % zamkniecie petli
12 view(netc)
13 y2 = netc(cell(0,50),Xic,Aic)
14 % wyswietlenie wynikow
15 hold on
16 plot(cell2mat(Tfull(51:100)), 'r-');
17 plot(cell2mat(y2), 'b-');
18 hold off;

```

Listing 6: Skrypt do zadania 7.6..

```

1 openExample('nnet/ReconstructHandwrittenDigitImagesUsingSparseAutoencoderExample')

```

Listing 7: Skrypt do zadania 7.7.

- ilości neuronów na wyjściu endodera $hiddenSize \in \{3, 4, 10, 25, 50\}$,
- współczynnika regularyzacji (*'L2WeightRegularization'*) w przedziale $\langle 0.000, 0.01 \rangle$
- współczynnika dywergencji [5] (*'SparsityRegularization'*) w przedziale $\langle 3, 5 \rangle$

7.8. Zmodyfikować sieć z zadania 5. do predykcji dochodu narodowego Polski, z wykorzystaniem danych historycznych. Wczytać dane jak na Listingu 8.

```

1 rawdata_gni = csvread('UIFS-NA_GNIPOL.csv',1,1,[1,1,30,1]);
2 data_gni = fliplr(rawdata_gni'/10^10);
3 T_feedback = num2cell(data_gni);

```

Listing 8: Dane do zadania 7.8.

- 7.9. Zaimplementować sieć typu NARX do predykcji dochodu narodowego Polski z wykorzystaniem danych archiwalnych dochodu narodowego oraz wartości eksportu. Wykorzystać skrypt z Listingu 9. Porównać wyniki ze skrytem z zad 7.8., wykonać oba skrypty wielokrotnie.
- 7.10. Wykorzystując polecenie z Listingu 10 sprawdzić działanie sieci RBF jako aproksymatora. Zbudować sieć MLP o takiej samej liczbie neuronów i porównać wyniki. Do wyświetlania struktury sieci użyć polecenia *view*. Zbadać jak zmienia się zachowanie procesu uczenia oraz samej sie-

```

1 clear;clc;close all hidden;
2 nnet.guis.closeAllViews();
3 rawdata_gni = csvread('UIFS-NA_GNLPOL.csv',1,1,[1,1,30,1]);
4 rawdata_exp = csvread('UIFS-BP_EVA_POL.csv',1,1,[1,1,30,1]);
5 rawdata_exp = rawdata_exp(:,1);
6 data_gni = fliplr(rawdata_gni'/10^10);
7 data_exp = fliplr(rawdata_exp'/10^10);
8 T_nonfeedback = num2cell(data_exp);
9 T_feedback = num2cell(data_gni);
10 net = narxnet(1,1:2,7);
11 [Xs,Xi,Ai,Ts] = preparets(net,T_nonfeedback,{},T_feedback);
12 net = train(net,Xs,Ts,Xi,Ai);
13 [Y,Xf,Af] = net(Xs,Xi,Ai);
14 perf = perform(net,Ts,Y)
15 [netc,Xic,Aic] = closeloop(net,Xf,Af);
16 netp = net;%removedelay(net);
17 [Xs,Xi,Ai,Ts] = preparets(netp,T_nonfeedback,{},T_feedback);
18 y2 = netp(Xs,Xi,Ai);
19 view(netp);
20 hold on
21     plot(data_gni,'r—');
22     plot(cell2mat(y2),'b');
23 hold off;

```

Listing 9: Skrypt do zadania 7.9.

```

1 openExample('nnet/demorb1')

```

Listing 10: Skrypt do zadania 7.10.

ci RBF dla różnych parametrów *eg* (maksymalny MSE) i *ec* (maksymalna rozpiętość krzywej dzwonowej)

Literatura

- [1] Shallow Neural Network Architectures. <https://www.mathworks.com/help/deeplearning/define-neural-network-architectures.html>.
- [2] Sepp Hochreiter. The Vanishing Gradient Problem During Learning Recurrent Neural Nets and Problem Solutions. *International Journal of Uncertainty, Fuzziness and Knowledge-Based Systems*, 06(02):107–116, 2003.
- [3] J J Hopfield. Computational Abilities. *Biophysics*, 79(April):2554–2558, 1982.

- [4] Xiaolei Ma, Zhimin Tao, Yinhai Wang, Haiyang Yu, and Yunpeng Wang. Long short-term memory neural network for traffic speed prediction using remote microwave sensor data. *Transportation Research Part C: Emerging Technologies*, 54:187–197, 2015.
- [5] Bruno A Olshausen and David J Fieldt. Sparse Coding with an Overcomplete Basis Set: A Strategy Employed by V1 ? Coding V1 Gaborwavelet Natural images. *Vision Res*, 37(23):33113325, 1997.
- [6] Razvan Pascanu, Tomas Mikolov, and Yoshua Bengio. On the difficulty of training recurrent neural networks. BT - Proceedings of the 30th International Conference on Machine Learning, ICML 2013, Atlanta, GA, USA, 16-21 June 2013. (2):1310–1318, 2013.
- [7] Mark D Skowronski and John G Harris. Automatic speech recognition using a predictive echo state network classifier. *Neural networks*, 20(3):414–423, 2007.